

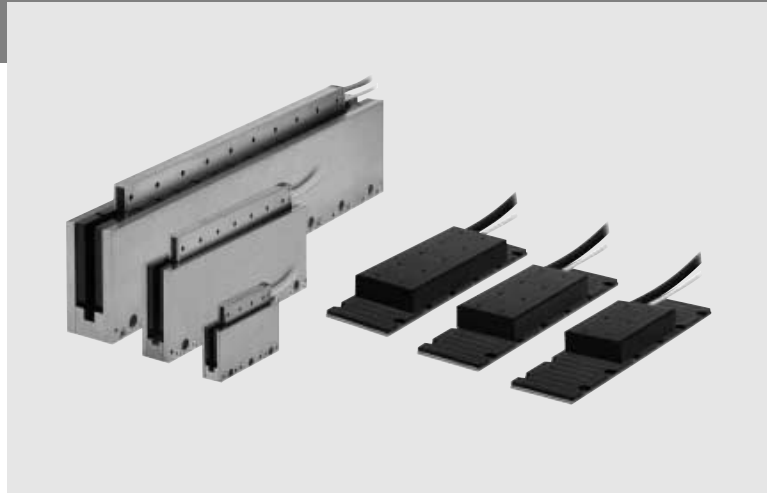
R88L-EC-FW/GW-□

# Moteur linéaire Accurax

## Nouveaux moteurs linéaires avec efficacité optimisée

Moteurs à noyau en fer pour opérations à vitesse et à rendement élevés et moteurs sans noyau en fer pour applications à dynamique élevée exemptes d'engorgements. Le moteur et les familles offrent une performance et une précision sans égale.

- Types de moteur sans noyau ou avec noyau en fer disponibles
- Positionnement précis à dynamique élevée
- Moteurs à noyau en fer dotés d'un design plat et compact
- Moteurs sans noyau en fer avec excellent rapport force / poids
- Rail magnétique au poids optimisé
- Connecteurs et capteur Hall numériques en option
- Capteurs de température inclus

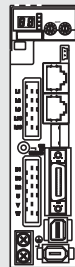


## Puissances

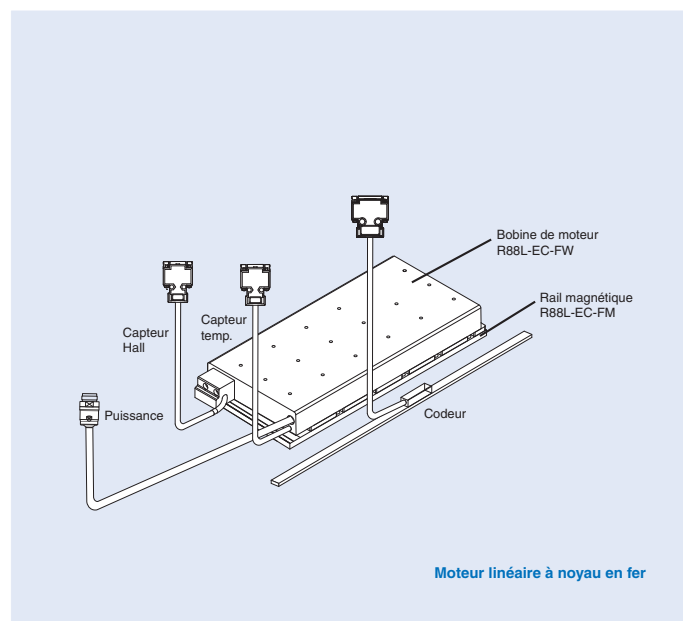
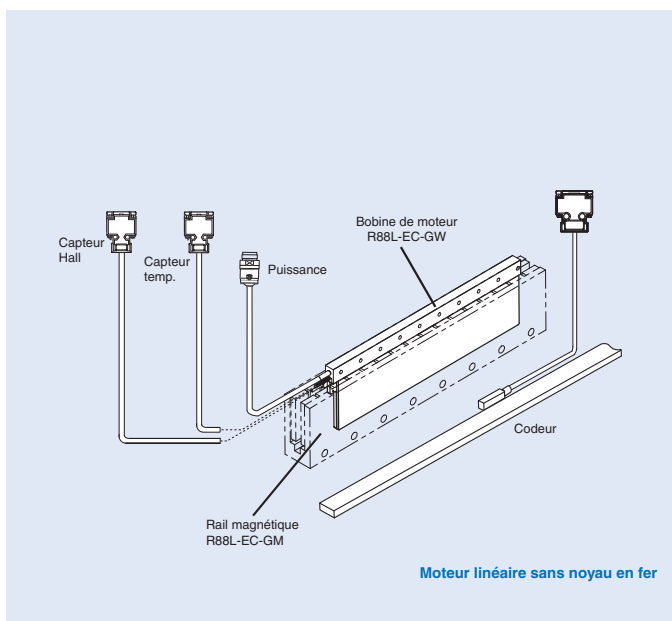
- Moteurs à noyau en fer – 48 à 760 N (force pic 2 000 N)
- Moteurs sans noyau en fer – 29 à 423 N (force pic 2 100 N)

## Configuration du système

(Reportez-vous au chapitre sur les servodrivés)



Modèles de servodrivés Accurax G5  
EtherCAT et analogiques / à impulsions

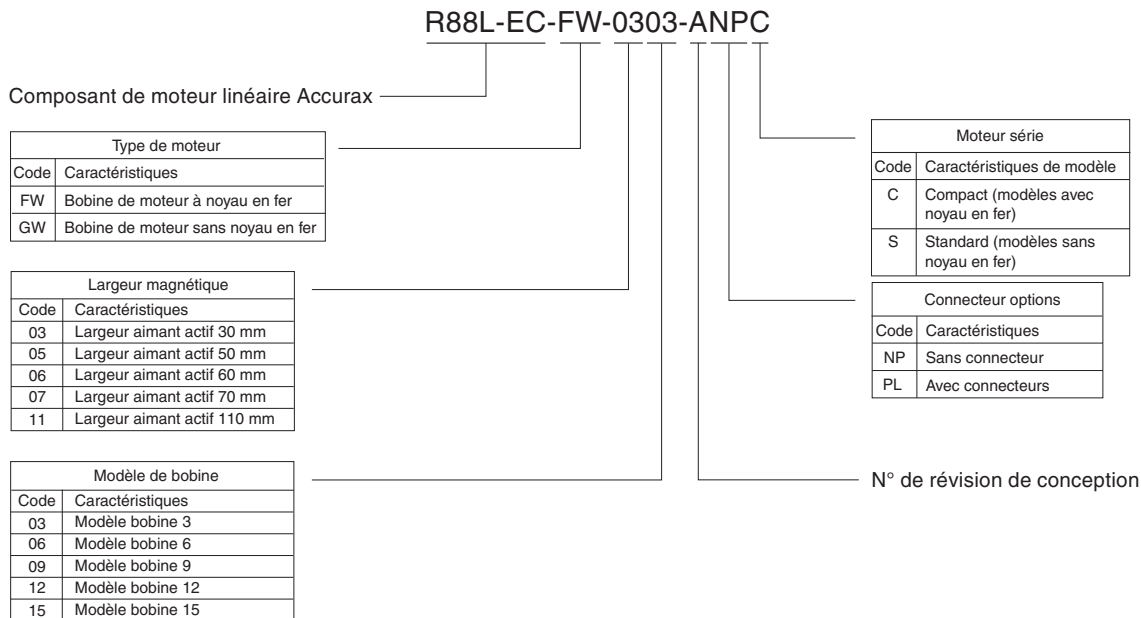


Combinaison moteur linéaire / servodriver

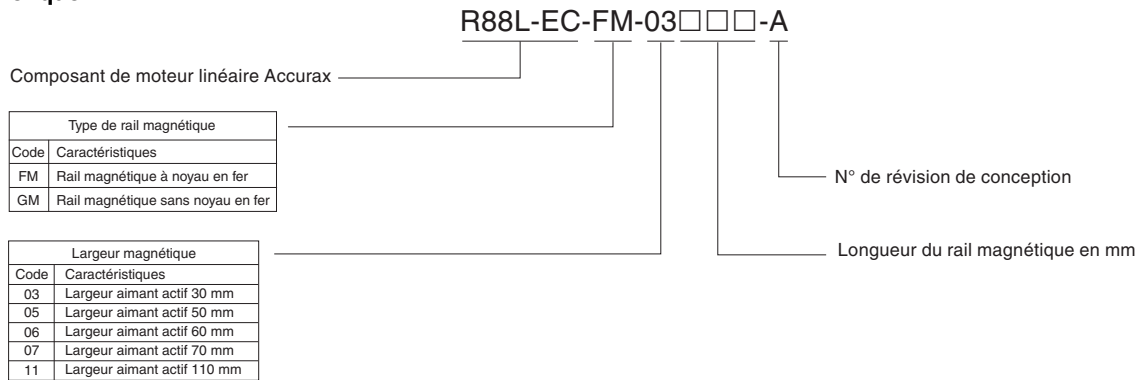
| Bobine de moteur linéaire   |                |           | Servodriver linéaire    |                            |                  |   |              |              |
|---|----------------|-----------|-------------------------|----------------------------|------------------|---|--------------|--------------|
| Type  | Force nominale | Force pic | Modèle                  | Modèle Accurax G5 EtherCAT |                  | Modèle Accurax G5 analogique / à impulsions |              |              |
|   |                |           |                         | 230 V                      | 400 V            | 230 V                                       | 400 V        |              |
| <b>R88L-EC-FW-□</b><br>Moteurs à noyau en fer<br><br>230 V / 400 V | 48 N           | 105 N     | Bobine sans connecteurs | R88L-EC-FW-0303-ANPC       | R88D-KN02H-ECT-L | R88D-KN06F-ECT-L                            | R88D-KT02H-L | R88D-KT06F-L |
|   | 96 N           | 210 N     |                         | R88L-EC-FW-0306-ANPC       | R88D-KN04H-ECT-L | R88D-KN10F-ECT-L                            | R88D-KT04H-L | R88D-KT10F-L |
|   | 160 N          | 400 N     |                         | R88L-EC-FW-0606-ANPC       | R88D-KN08H-ECT-L | R88D-KN15F-ECT-L                            | R88D-KT08H-L | R88D-KT15F-L |
|   | 240 N          | 600 N     |                         | R88L-EC-FW-0609-ANPC       | R88D-KN10H-ECT-L | R88D-KN20F-ECT-L                            | R88D-KT10H-L | R88D-KT20F-L |
|   | 320 N          | 800 N     |                         | R88L-EC-FW-0612-ANPC       | R88D-KN15H-ECT-L | R88D-KN30F-ECT-L                            | R88D-KT15H-L | R88D-KT30F-L |
|   | 608 N          | 1 600 N   |                         | R88L-EC-FW-1112-ANPC       | R88D-KN15H-ECT-L | R88D-KN30F-ECT-L                            | R88D-KT15H-L | R88D-KT30F-L |
|   | 760 N          | 2 000 N   | Bobine avec connecteurs | R88L-EC-FW-1115-ANPC       | R88D-KN15H-ECT-L | R88D-KN30F-ECT-L                            | R88D-KT15H-L | R88D-KT30F-L |
|   | 48 N           | 105 N     |                         | R88L-EC-FW-0303-APLC       | R88D-KN02H-ECT-L | R88D-KN06F-ECT-L                            | R88D-KT02H-L | R88D-KT06F-L |
|   | 96 N           | 210 N     |                         | R88L-EC-FW-0306-APLC       | R88D-KN04H-ECT-L | R88D-KN10F-ECT-L                            | R88D-KT04H-L | R88D-KT10F-L |
|   | 160 N          | 400 N     |                         | R88L-EC-FW-0606-APLC       | R88D-KN08H-ECT-L | R88D-KN15F-ECT-L                            | R88D-KT08H-L | R88D-KT15F-L |
|   | 240 N          | 600 N     |                         | R88L-EC-FW-0609-APLC       | R88D-KN10H-ECT-L | R88D-KN20F-ECT-L                            | R88D-KT10H-L | R88D-KT20F-L |
|   | 320 N          | 800 N     |                         | R88L-EC-FW-0612-APLC       | R88D-KN15H-ECT-L | R88D-KN30F-ECT-L                            | R88D-KT15H-L | R88D-KT30F-L |
|   | 608 N          | 1 600 N   |                         | R88L-EC-FW-1112-APLC       | R88D-KN15H-ECT-L | R88D-KN30F-ECT-L                            | R88D-KT15H-L | R88D-KT30F-L |
|   | 760 N          | 2 000 N   |                         | R88L-EC-FW-1115-APLC       | R88D-KN15H-ECT-L | R88D-KN30F-ECT-L                            | R88D-KT15H-L | R88D-KT30F-L |
| <b>R88L-EC-GW-□</b><br>Moteurs sans noyau en fer<br><br>230 V      | 29 N           | 100 N     | Bobine sans connecteurs | R88L-EC-GW-0303-ANPS       | R88D-KN02H-ECT-L | -   | R88D-KT02H-L | -            |
|   | 58 N           | 200 N     |                         | R88L-EC-GW-0306-ANPS       | R88D-KN08H-ECT-L | -   | R88D-KT08H-L | -            |
|   | 87 N           | 300 N     |                         | R88L-EC-GW-0309-ANPS       | R88D-KN10H-ECT-L | -   | R88D-KT10H-L | -            |
|   | 70 N           | 240 N     |                         | R88L-EC-GW-0503-ANPS       | R88D-KN02H-ECT-L | -   | R88D-KT02H-L | -            |
|   | 140 N          | 480 N     |                         | R88L-EC-GW-0506-ANPS       | R88D-KN04H-ECT-L | -   | R88D-KT04H-L | -            |
|   | 210 N          | 720 N     |                         | R88L-EC-GW-0509-ANPS       | R88D-KN08H-ECT-L | -   | R88D-KT08H-L | -            |
|   | 141 N          | 700 N     |                         | R88L-EC-GW-0703-ANPS       | R88D-KN04H-ECT-L | -   | R88D-KT04H-L | -            |
|   | 282 N          | 1 400 N   |                         | R88L-EC-GW-0706-ANPS       | R88D-KN08H-ECT-L | -   | R88D-KT08H-L | -            |
|   | 423 N          | 2 100 N   |                         | R88L-EC-GW-0709-ANPS       | R88D-KN10H-ECT-L | -   | R88D-KT10H-L | -            |
|   | 29 N           | 100 N     | Bobine avec connecteurs | R88L-EC-GW-0303-APLS       | R88D-KN02H-ECT-L | -   | R88D-KT02H-L | -            |
|   | 58 N           | 200 N     |                         | R88L-EC-GW-0306-APLS       | R88D-KN08H-ECT-L | -   | R88D-KT08H-L | -            |
|   | 87 N           | 300 N     |                         | R88L-EC-GW-0309-APLS       | R88D-KN10H-ECT-L | -   | R88D-KT10H-L | -            |
|   | 70 N           | 240 N     |                         | R88L-EC-GW-0503-APLS       | R88D-KN02H-ECT-L | -   | R88D-KT02H-L | -            |
|   | 140 N          | 480 N     |                         | R88L-EC-GW-0506-APLS       | R88D-KN04H-ECT-L | -   | R88D-KT04H-L | -            |
|   | 210 N          | 720 N     |                         | R88L-EC-GW-0509-APLS       | R88D-KN08H-ECT-L | -   | R88D-KT08H-L | -            |
|   | 141 N          | 700 N     |                         | R88L-EC-GW-0703-APLS       | R88D-KN04H-ECT-L | -   | R88D-KT04H-L | -            |
|   | 282 N          | 1 400 N   |                         | R88L-EC-GW-0706-APLS       | R88D-KN08H-ECT-L | -   | R88D-KT08H-L | -            |
|   | 423 N          | 2 100 N   |                         | R88L-EC-GW-0709-APLS       | R88D-KN10H-ECT-L | -   | R88D-KT10H-L | -            |

Légende des références

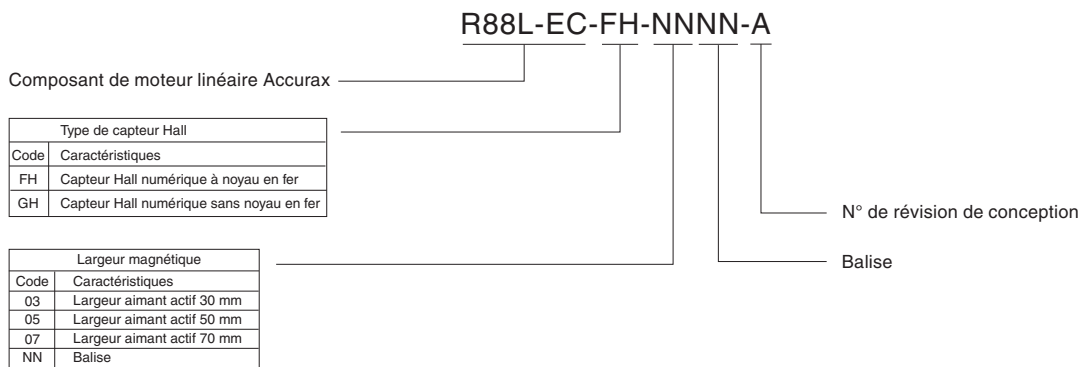
Bobine de moteur linéaire



**Rail magnétique**



**Capteur Hall**



**Caractéristiques du servomoteur linéaire**

**Moteurs à noyau en fer R88L-EC-FW-□ (230 / 400 Vc.a.)**

| Tension  | 230 / 400 V   |                |        |                |        |        |                |        |
|--|---|----------------|--------|----------------|--------|--------|----------------|--------|
|  | R88L-EC-FW-□  | 0303-□         | 0306-□ | 0606-□         | 0609-□ | 0612-□ | 1112-□         | 1115-□ |
| Modèle de moteur linéaire                            | R88L-EC-FW-□  | 0303-□         | 0306-□ | 0606-□         | 0609-□ | 0612-□ | 1112-□         | 1115-□ |
| Vitesse maximale (100 V)                             | m/s   | 2,5            |        | 2              |        |        | 1              |        |
| Vitesse maximale (200 V)                             | m/s   | 5              |        | 4              |        |        | 2              |        |
| Vitesse maximale (400 V)                             | m/s   | 10             |        | 8              |        |        | 4              |        |
| Force pic*1  | N   | 105            | 210    | 400            | 600    | 800    | 1 600          | 2 000  |
| Courant pic*1  | Arms  | 3,1            | 6,1    | 10             | 15     | 20     | 20             | 25     |
| Force continue*2                                     | N   | 48             | 96     | 160            | 240    | 320    | 608            | 760    |
| Courant continu*2                                    | Arms  | 1,24           | 2,4    | 3,4            | 5,2    | 6,9    | 6,5            | 8,2    |
| Constante de force du moteur                         | N/A <sub>rms</sub>  | 39,7           |        | 46,5           |        |        | 93             |        |
| BEMF   | V/m/s   | 32             |        | 38             |        |        | 76             |        |
| Constante moteur                                     | N / √W  | 9,75           | 13,78  | 19,49          | 23,87  | 27,57  | 41,47          | 46,37  |
| Résistance de phase                                  | Ω   | 5,34           | 2,68   | 1,83           | 1,23   | 0,92   | 1,6            | 1,29   |
| Inductance de phase                                  | mH  | 34,7           | 17,4   | 13,7           | 9,2    | 6,9    | 12,8           | 10,3   |
| Constante de temps électrique                        | ms  | 6,5            |        | 7,5            |        |        | 8              |        |
| Dissipation de puissance cont. max. (toutes bobines) | W   | 32             | 63     | 88             | 131    | 175    | 279            | 349    |
| Résistance thermique                                 | K/W   | 2,20           | 1,10   | 0,78           | 0,52   | 0,39   | 0,23           | 0,18   |
| Constante de temps thermique                         | s   | 110            |        | 124            |        |        | 126            |        |
| Force d'attraction magnétique                        | N   | 300            | 500    | 1 020          | 1 420  | 1 820  | 3 640          | 4 440  |
| Pas du pôle magnétique                               | mm  | 24             |        |                |        |        |                |        |
| Poids unité de bobine*3                              | Kg  | 0,48           | 0,78   | 1,31           | 1,84   | 2,37   | 4,45           | 5,45   |
| Poids rail magnétique                                | Kg/m  | 2,1            |        | 3,8            |        |        | 10,5           |        |
| Dimensions plaque de refroidissement (L x l x h)     | mm  | 238 x 220 x 10 |        | 250 x 287 x 12 |        |        | 371 x 330 x 14 |        |
| Méthodes de protection*4                             | Capteurs de température (KTY-83/121 & PTC 110C), auto-refroidissement |                |        |                |        |        |                |        |
| Capteur Hall   | Numérique (en option)   |                |        |                |        |        |                |        |
| Classe d'isolation                                   | Classe B  |                |        |                |        |        |                |        |
| Tension du bus max.                                  | 560 Vc.c.   |                |        |                |        |        |                |        |
| Résistance d'isolement                               | 500 Vc.c., min. 10 MΩ   |                |        |                |        |        |                |        |
| Rigidité diélectrique                                | 2 750 V pour 1 s  |                |        |                |        |        |                |        |
| Température max. de bobine autorisée                 | 130 °C  |                |        |                |        |        |                |        |
| Humidité ambiante                                    | 20 à 80 % (sans condensation)   |                |        |                |        |        |                |        |
| Température max. d'aimant autorisée                  | 70 °C   |                |        |                |        |        |                |        |

\*1 Température de bobine augmentant de 6 K/s.

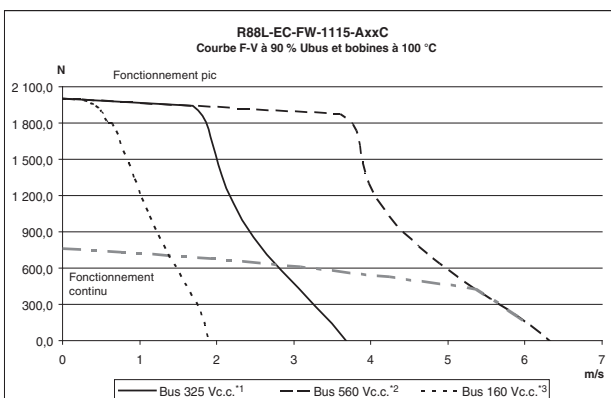
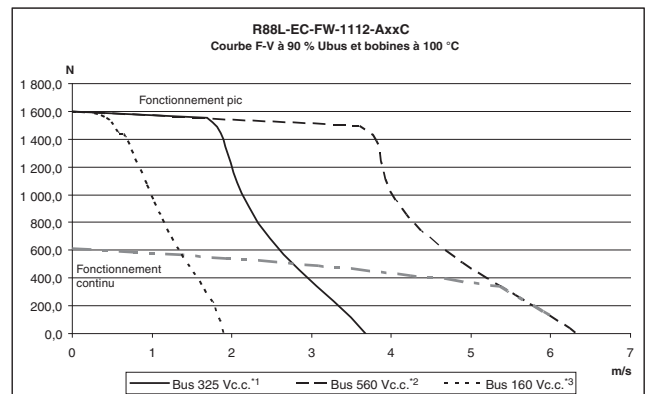
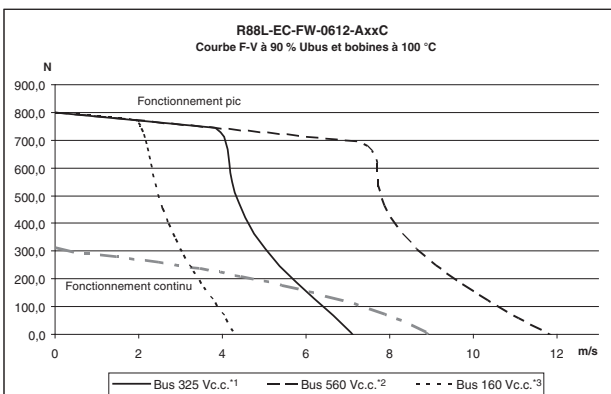
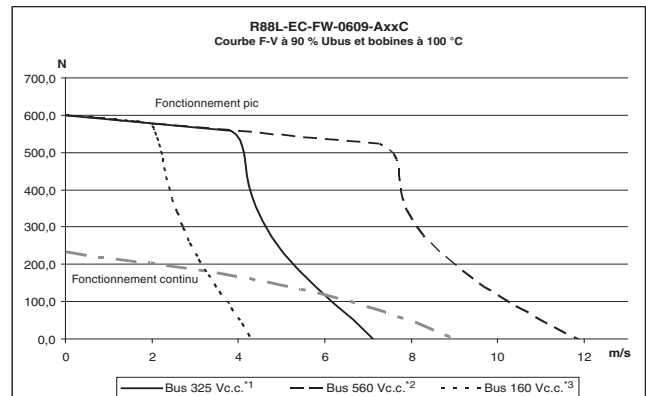
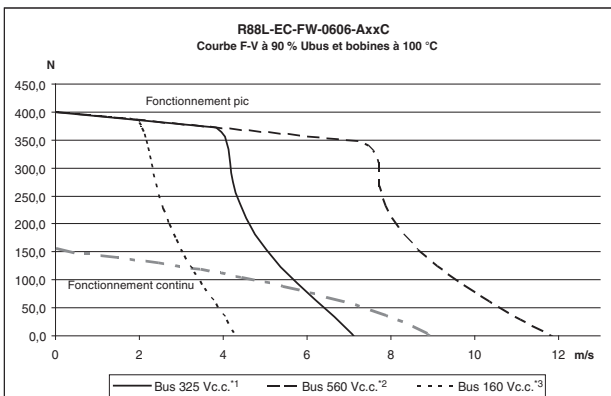
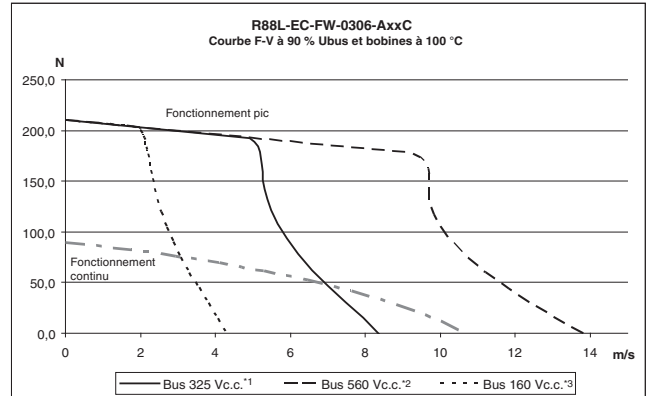
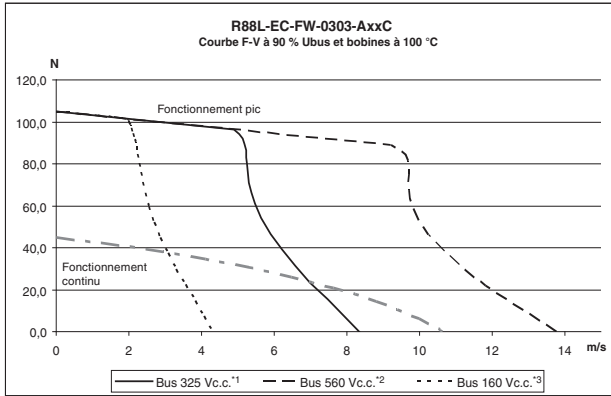
\*2 Valeurs de température de bobine à 100 °C et d'aimants à 25 °C. L'unité de bobine doit être associée aux tailles de plaques de refroidissement données dans le tableau et un courant d'air de 2,5 m/s (25 °C) doit être appliqué.

\*3 Poids sans connecteur et câble.

\*4 |I| doit être défini correctement pour les applications à courant élevé.

Toutes les autres valeurs à 25 °C (±10 %).

## Caractéristiques force-vitesse



\*1 La tension du Bus c.c. correspond à une entrée de tension c.a. ( $V_{ACIN}$ ) de 235 V ou plus.

\*2 La tension du Bus c.c. correspond à une entrée de tension c.a. ( $V_{ACIN}$ ) de 400 V ou plus.

\*3 La tension du Bus c.c. correspond à une entrée de tension c.a. ( $V_{ACIN}$ ) de 115 V ou plus.

**Remarque :** La valeur du Bus c.c. est calculée à partir de la formule ci-dessous (où la chute de tension c.a. est dans le bus c.c.) :

$$DCBuS = V_{ACIN} \times \sqrt{2} - \Delta V$$

Moteurs sans noyau en fer R88L-EC-GW-□ (230 Vc.a.)

| Tension  |   | 230 V  |        |        |        |        |        |        |        |        |
|--|---|--------|--------|--------|--------|--------|--------|--------|--------|--------|
| Modèle de moteur linéaire                            | R88L-EC-GW-□  | 0303-□ | 0306-□ | 0309-□ | 0503-□ | 0506-□ | 0509-□ | 0703-□ | 0706-□ | 0709-□ |
| Vitesse maximale (100 V)                             | m/s   | 8      |        |        | 2,2    |        |        | 1,2    |        |        |
| Vitesse maximale (200 V)                             | m/s   | 16     |        |        | 4,4    |        |        | 2,4    |        |        |
| Force pic*1  | N   | 100    | 200    | 300    | 240    | 480    | 720    | 700    | 1 400  | 2 100  |
| Courant pic*1  | Arms  | 5      | 10     | 15     | 3,5    | 7,1    | 10,6   | 5,6    | 11,3   | 16,9   |
| Force continue*2                                     | N   | 29     | 58     | 87     | 70     | 140    | 210    | 141    | 282    | 423    |
| Courant continu*2                                    | Arms  | 1,46   | 2,92   | 4,37   | 1,03   | 2,06   | 3,09   | 1,14   | 2,27   | 3,41   |
| Constante de force du moteur                         | N/Arms  | 19,9   |        |        | 68     |        |        | 124    |        |        |
| BEMF   | V/m/s   | 16,2   |        |        | 55,5   |        |        | 101,2  |        |        |
| Constante moteur                                     | N / √W  | 5,07   | 7,16   | 8,78   | 9,74   | 13,77  | 17,13  | 18,15  | 25,67  | 32,02  |
| Résistance de phase                                  | Ω   | 5,5    | 2,8    | 1,8    | 15,9   | 8      | 5,3    | 15,8   | 7,9    | 5,3    |
| Inductance de phase                                  | mH  | 1,8    | 0,9    | 0,6    | 13     | 6,5    | 4,2    | 28     | 14     | 9      |
| Constante de temps électrique                        | ms  | 0,35   |        |        | 0,8    |        |        | 1,8    |        |        |
| Dissipation de puissance cont. max. (toutes bobines) | W   | 39     | 79     | 111    | 46     | 95     | 140    | 82     | 163    | 247    |
| Résistance thermique*2                               | K/W   | 1,81   | 0,90   | 0,65   | 1,26   | 0,63   | 0,42   | 1,04   | 0,52   | 0,34   |
| Constante de temps thermique                         | s   | 36     |        |        | 72     |        |        | 156    |        |        |
| Force d'attraction magnétique                        | N   | 0      |        |        | 0      |        |        | 0      |        |        |
| Pas du pôle magnétique                               | mm  | 30     |        |        | 42     |        |        | 57     |        |        |
| Poids unité de bobine*3                              | Kg  | 0,084  | 0,138  | 0,198  | 0,25   | 0,47   | 0,69   | 0,55   | 0,95   | 1,35   |
| Poids rail magnétique                                | Kg/m  | 4,8    |        |        | 11,2   |        |        | 24     |        |        |
| Méthodes de protection*4                             | Capteurs de température NTC10k, PTC110C, auto-refroidissement |        |        |        |        |        |        |        |        |        |
| Capteur Hall   | Numérique (en option)   |        |        |        |        |        |        |        |        |        |
| Classe d'isolation                                   | Classe B  |        |        |        |        |        |        |        |        |        |
| Tension du bus max.                                  | 325 Vc.c.   |        |        |        |        |        |        |        |        |        |
| Résistance d'isolement                               | 500 Vc.c., min. 10 MΩ   |        |        |        |        |        |        |        |        |        |
| Rigidité diélectrique                                | 2 250 V pendant 1 s   |        |        |        |        |        |        |        |        |        |
| Température max. de bobine autorisée                 | 110 °C  |        |        |        |        |        |        |        |        |        |
| Humidité ambiante                                    | 20 à 80 % sans condensation                                   |        |        |        |        |        |        |        |        |        |
| Température max. d'aimant autorisée                  | 70 °C   |        |        |        |        |        |        |        |        |        |

\*1 Température de bobine en augmentation série 03 de 40 K/s, série 05 de 20 K/s et série 07 de 20 K/s.

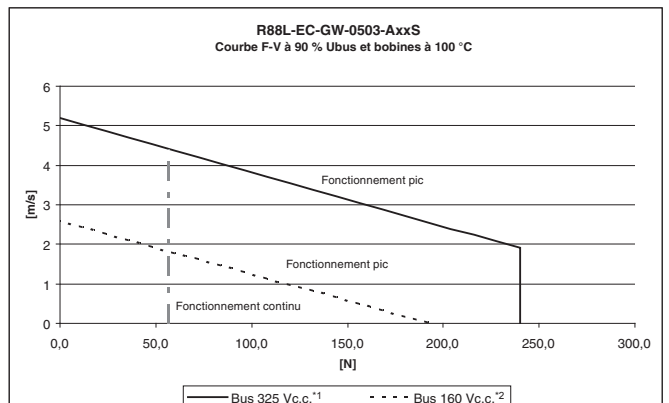
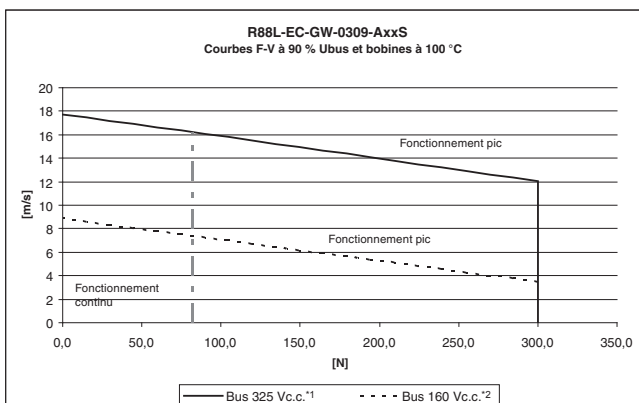
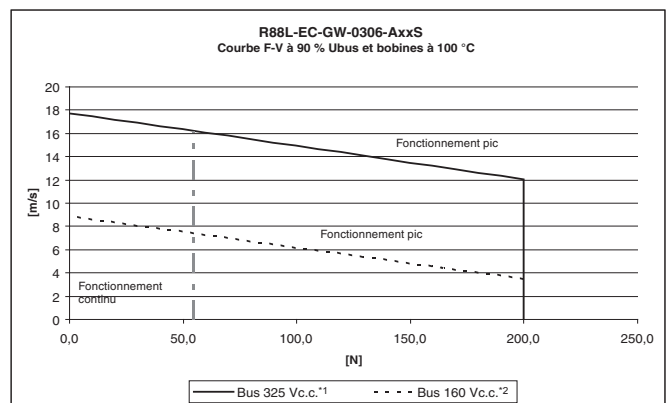
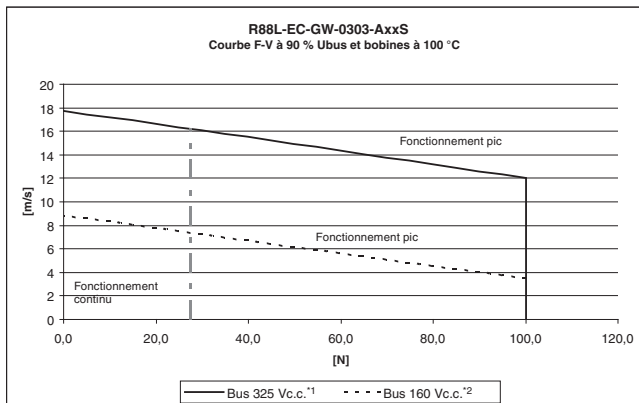
\*2 Valeurs de température de bobine à 110 °C et d'aimants à 25 °C. Unité de bobine installée sur une surface en aluminium refroidie à l'eau. Attention : Toutes les autres valeurs à 25 °C. Les valeurs peuvent avoir une tolérance de 10 %.

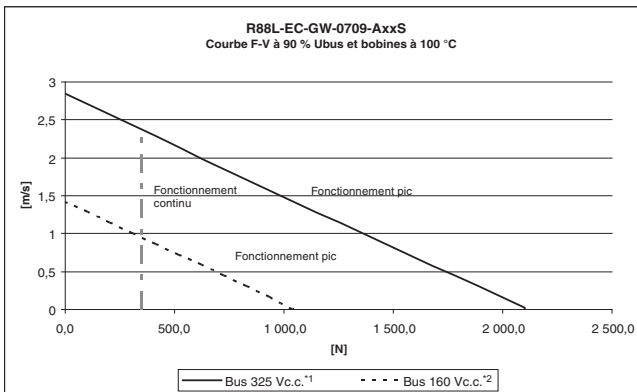
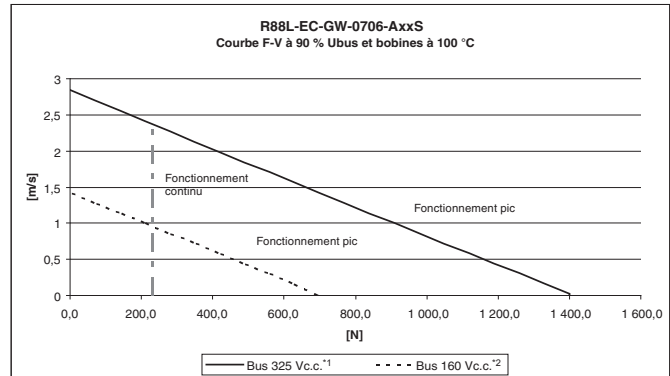
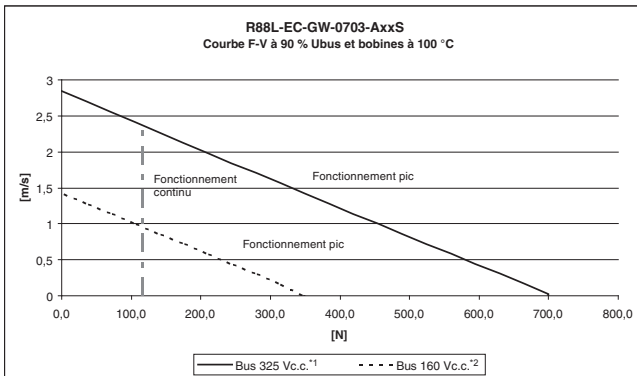
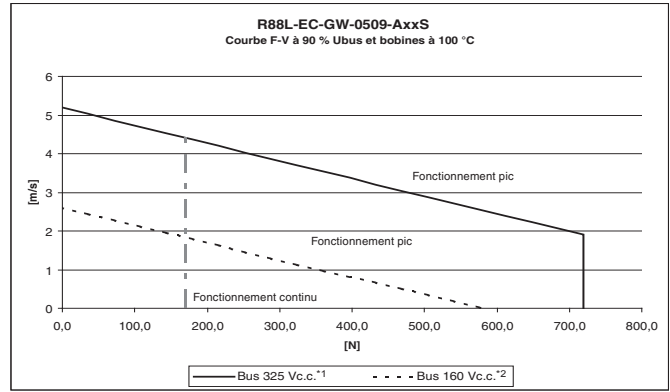
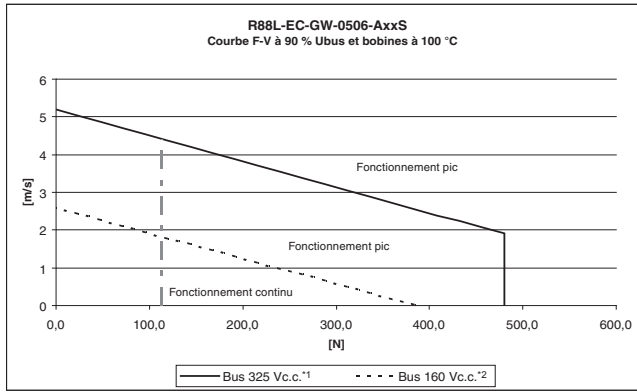
\*3 Poids sans connecteur et câble.

\*4 |i<sup>2</sup>| doit être défini correctement pour les applications de surcharge à courant élevé.

Toutes les autres valeurs à 25 °C (±10 %).

Caractéristiques force-vitesse





\*1 La tension du Bus c.c. correspond à une entrée de tension c.a. ( $V_{ACIN}$ ) de 235 V ou plus.

\*2 La tension du Bus c.c. correspond à une entrée de tension c.a. ( $V_{ACIN}$ ) de 115 V ou plus.

**Remarque :** La valeur du bus c.c. est calculée à partir de la formule ci-dessous :

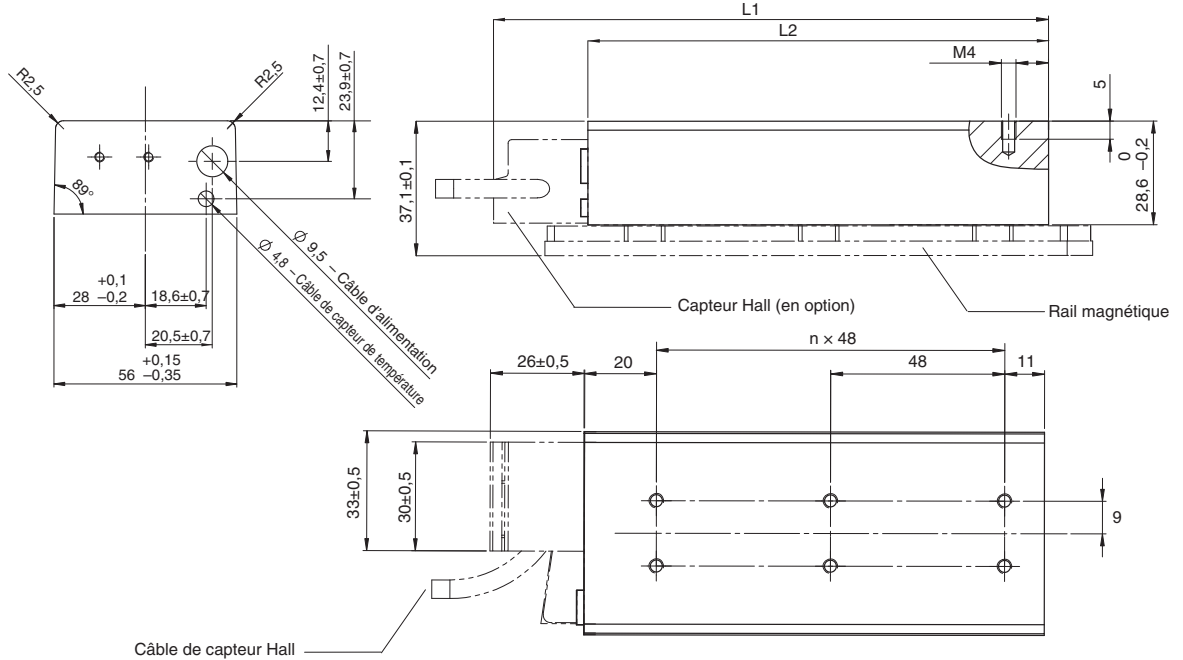
$$DCBuS = V_{ACIN} \times \sqrt{2} - \Delta V$$

Noyau en fer R88L-EC-FW-03

Bobine moteur

| Modèle           | L1 (mm) | L2 (mm)          | n |
|------------------|---------|------------------|---|
| R88L-EC-FW-0303- | 105±0,5 | 79+0,15 / -0,35  | 1 |
| R88L-EC-FW-0306- | 153±0,5 | 127+0,15 / -0,35 | 2 |

Dimensions de la bobine du moteur avec rail magnétique et capteur Hall (en option)



Caractéristiques du câblage pour moteur avec connecteurs

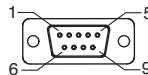
Unité : mm



Longueur du câble 500±30  
Connecteur en option  
Fabriqué par Hypertac  
LRRA06AMRPN182 (MALE)  
Code article broche : 021.279.1020

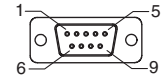
| Connecteur d'alimentation |              |          |
|---------------------------|--------------|----------|
| N° broche                 | Fil          | Fonction |
| 1                         | Noir-1       | Phase U  |
| 2                         | Noir-2       | Phase V  |
| 3                         | Vert / Jaune | Terre    |
| 4                         | Noir-3       | Phase W  |
| 5                         | Non utilisé  | -        |
| 6                         | Non utilisé  | -        |

Connecteur homologue :  
Type mâle : LPRA06BFRBN170



Longueur du câble 500±30  
Connecteur en option  
D-sub 9 broches (MALE)

| Connecteur du capteur de température |             |          |
|--------------------------------------|-------------|----------|
| N° broche                            | Fil         | Fonction |
| 1                                    | Non utilisé | -        |
| 2                                    | Non utilisé | -        |
| 3                                    | Non utilisé | -        |
| 4                                    | Non utilisé | -        |
| 5                                    | Non utilisé | -        |
| 6                                    | Blanc       | PTC      |
| 7                                    | Marron      | PTC      |
| 8                                    | Vert        | KTY      |
| 9                                    | Jaune       | KTY      |
| Boîtier                              | Blindage    | -        |

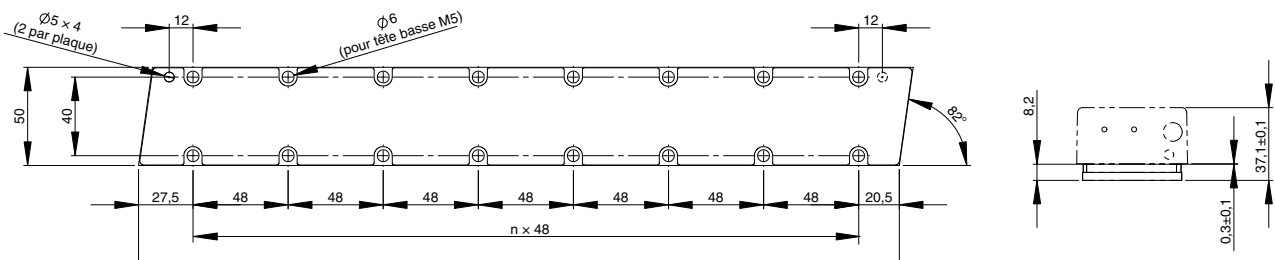


Longueur du câble 500±30  
D-sub 9 broches (MALE)

| Connecteur de capteur Hall (en option) |             |             |
|--|-------------|-------------|
| N° broche                              | Fil         | Fonction    |
| 1                                      | Marron      | 5 V         |
| 2                                      | Rouge       | Hall U      |
| 3                                      | Gris        | Hall V      |
| 4                                      | Jaune       | Hall W      |
| 5                                      | Blanc       | GND         |
| 6                                      | Non utilisé | Non utilisé |
| 7                                      | Non utilisé | Non utilisé |
| 8                                      | Non utilisé | Non utilisé |
| 9                                      | Non utilisé | Non utilisé |
| Boîtier                                | Blindage    | -           |

Rail magnétique

| Modèle             | L1 (mm) | n | Poids approximatif (Kg/m) |
|--------------------|---------|---|---------------------------|
| R88L-EC-FM-03096-A | 96      | 1 | 2,1                       |
| R88L-EC-FM-03144-A | 144     | 2 |                           |
| R88L-EC-FM-03384-A | 384     | 7 |                           |

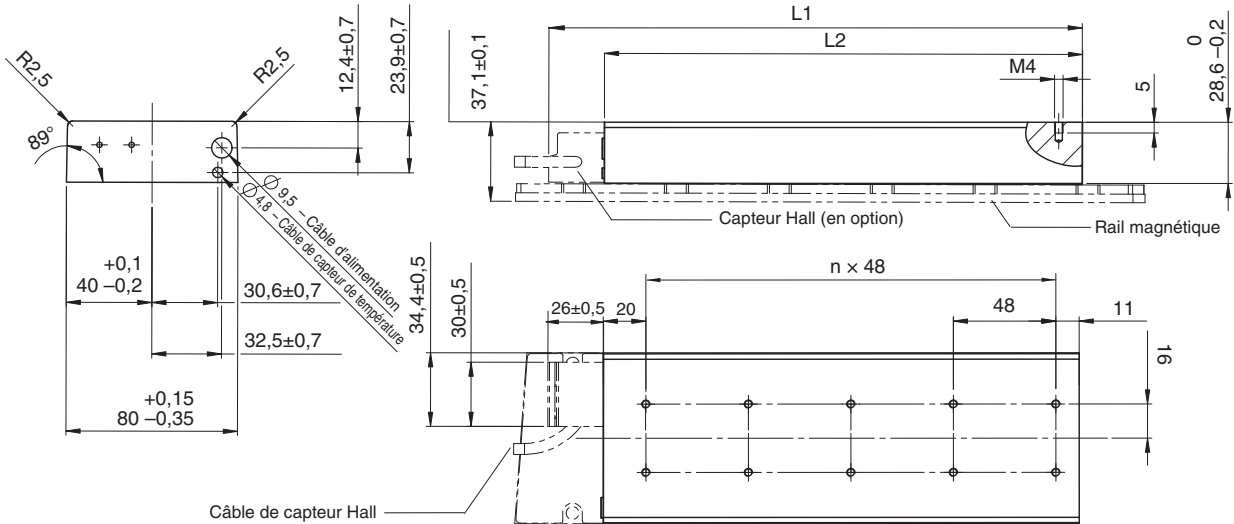


## Noyau en fer R88L-EC-FW-06□

### Bobine moteur

| Modèle            | L1 (mm) | L2 (mm)          | n |
|-------------------|---------|------------------|---|
| R88L-EC-FW-0606-□ | 153±0,5 | 127+0,15 / -0,35 | 2 |
| R88L-EC-FW-0609-□ | 201±0,5 | 175+0,15 / -0,35 | 3 |
| R88L-EC-FW-0612-□ | 249±0,5 | 223+0,15 / -0,35 | 4 |

Dimensions de la bobine du moteur avec rail magnétique et capteur Hall (en option)



Caractéristiques du câblage pour moteur avec connecteurs

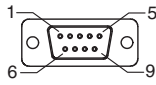
Unité : mm



Longueur du câble 500±30  
Connecteur en option  
Fabriqué par Hypertac  
LPRRA06AMRPN182 (MALE)  
Code article broche : 021.279.1020

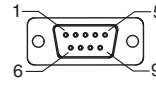
| Connecteur d'alimentation |              |          |
|---------------------------|--------------|----------|
| N° broche                 | Fil          | Fonction |
| 1                         | Noir-1       | Phase U  |
| 2                         | Noir-2       | Phase V  |
| 3                         | Vert / Jaune | Terre    |
| 4                         | Noir-3       | Phase W  |
| 5                         | Non utilisé  | -        |
| 6                         | Non utilisé  | -        |

Connecteur homologue :  
Type mâle : LPRRA06BFRBN170



Longueur du câble 500±30  
Connecteur en option  
D-sub 9 broches (MALE)

| Connecteur du capteur de température |             |          |
|--------------------------------------|-------------|----------|
| N° broche                            | Fil         | Fonction |
| 1                                    | Non utilisé | -        |
| 2                                    | Non utilisé | -        |
| 3                                    | Non utilisé | -        |
| 4                                    | Non utilisé | -        |
| 5                                    | Non utilisé | -        |
| 6                                    | Blanc       | PTC      |
| 7                                    | Marron      | PTC      |
| 8                                    | Vert        | KTY      |
| 9                                    | Jaune       | KTY      |
| Boîtier                              | Blindage    | -        |

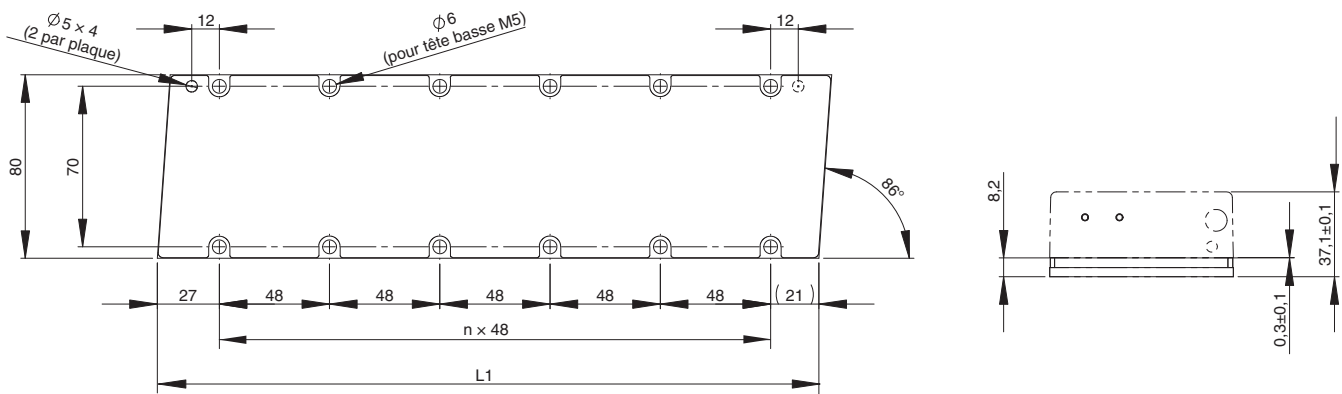


Longueur du câble 500±30  
D-sub 9 broches (MALE)

| Connecteur de capteur Hall (en option) |             |             |
|--|-------------|-------------|
| N° broche                              | Fil         | Fonction    |
| 1                                      | Marron      | 5 V         |
| 2                                      | Rouge       | Hall U      |
| 3                                      | Gris        | Hall V      |
| 4                                      | Jaune       | Hall W      |
| 5                                      | Blanc       | GND         |
| 6                                      | Non utilisé | Non utilisé |
| 7                                      | Non utilisé | Non utilisé |
| 8                                      | Non utilisé | Non utilisé |
| 9                                      | Non utilisé | Non utilisé |
| Boîtier                                | Blindage    | -           |

### Rail magnétique

| Modèle             | L1 (mm) | n | Poids approximatif (Kg/m) |
|--------------------|---------|---|---------------------------|
| R88L-EC-FM-06192-A | 192     | 3 | 3,8                       |
| R88L-EC-FM-06288-A | 288     | 5 |                           |

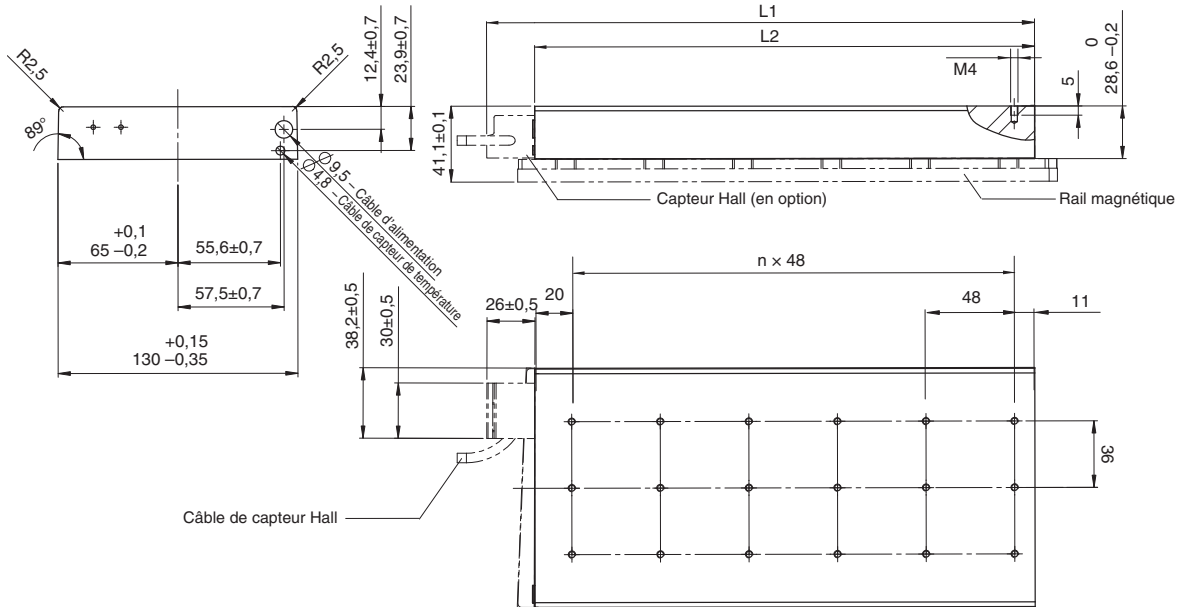


Noyau en fer R88L-EC-FW-11□

Bobine moteur

| Modèle            | L1 (mm) | L2 (mm)          | n |
|-------------------|---------|------------------|---|
| R88L-EC-FW-1112-□ | 249±0,5 | 223+0,15 / -0,35 | 4 |
| R88L-EC-FW-1115-□ | 297±0,5 | 271+0,15 / -0,35 | 5 |

Dimensions de la bobine du moteur avec rail magnétique et capteur Hall (en option)



Unité : mm

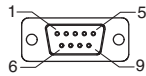
Caractéristiques du câblage pour moteur avec connecteurs



Longueur du câble 500±30  
Connecteur en option  
Fabriqué par Hypertac  
LPR06AMRPN182 (MALE)  
Code article broche : 021.279.1020

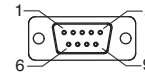
| Connecteur d'alimentation |              |          |
|---------------------------|--------------|----------|
| N° broche                 | Fil          | Fonction |
| 1                         | Noir-1       | Phase U  |
| 2                         | Noir-2       | Phase V  |
| 3                         | Vert / Jaune | Terre    |
| 4                         | Noir-3       | Phase W  |
| 5                         | Non utilisé  | -        |
| 6                         | Non utilisé  | -        |

Connecteur homologue :  
Type mâle : LPR06BFRBN170



Longueur du câble 500±30  
Connecteur en option  
D-sub 9 broches (MALE)

| Connecteur du capteur de température |             |          |
|--------------------------------------|-------------|----------|
| N° broche                            | Fil         | Fonction |
| 1                                    | Non utilisé | -        |
| 2                                    | Non utilisé | -        |
| 3                                    | Non utilisé | -        |
| 4                                    | Non utilisé | -        |
| 5                                    | Non utilisé | -        |
| 6                                    | Blanc       | PTC      |
| 7                                    | Marron      | PTC      |
| 8                                    | Vert        | KTY      |
| 9                                    | Jaune       | KTY      |
| Boîtier                              | Blindage    | -        |

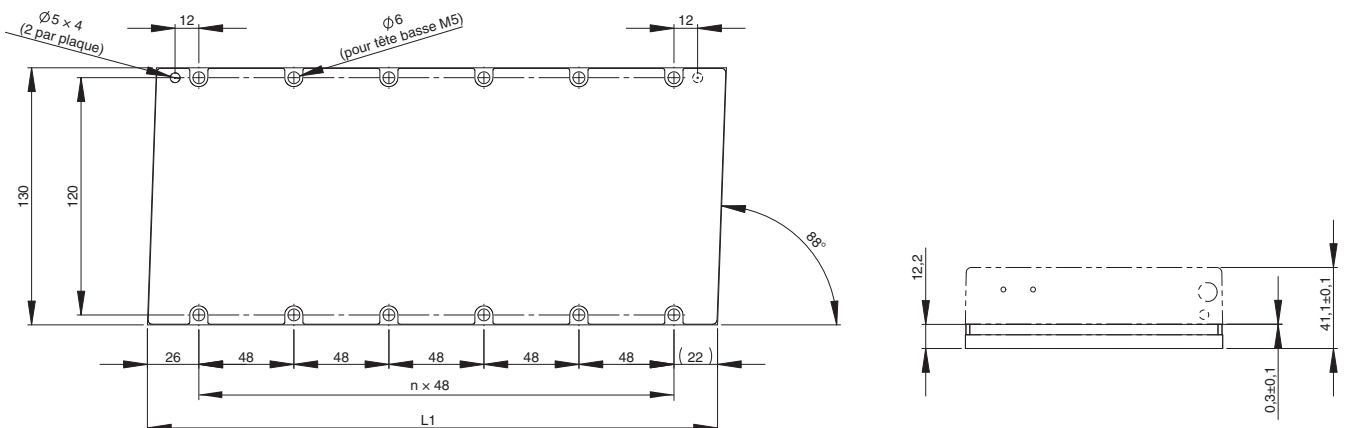


Longueur du câble 500±30  
D-sub 9 broches (MALE)

| Connecteur de capteur Hall (en option) |             |             |
|--|-------------|-------------|
| N° broche                              | Fil         | Fonction    |
| 1                                      | Marron      | 5 V         |
| 2                                      | Rouge       | Hall U      |
| 3                                      | Gris        | Hall V      |
| 4                                      | Jaune       | Hall W      |
| 5                                      | Blanc       | GND         |
| 6                                      | Non utilisé | Non utilisé |
| 7                                      | Non utilisé | Non utilisé |
| 8                                      | Non utilisé | Non utilisé |
| 9                                      | Non utilisé | Non utilisé |
| Boîtier                                | Blindage    | -           |

Rail magnétique

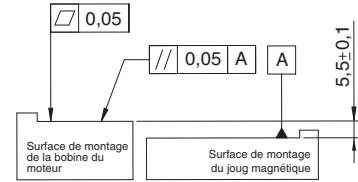
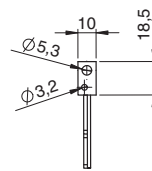
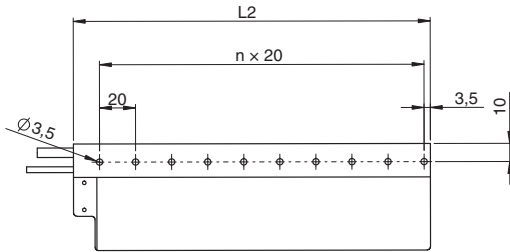
| Modèle             | L1 (mm) | n | Poids approximatif (Kg/m) |
|--------------------|---------|---|---------------------------|
| R88L-EC-FM-11192-A | 192     | 3 | 10,5                      |
| R88L-EC-FM-11288-A | 288     | 5 |                           |



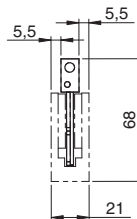
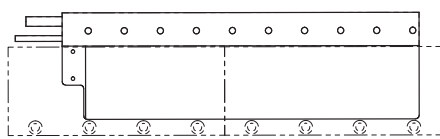
## Sans noyau de fer R88L-EC-GW-03

### Bobine moteur

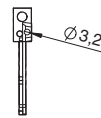
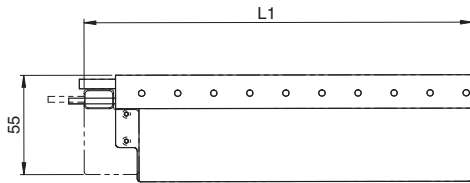
| Modèle           | L1 (mm) | L2 (mm) | n |
|------------------|---------|---------|---|
| R88L-EC-GW-0303- | 95,4    | 78      | 3 |
| R88L-EC-GW-0306- | 155,4   | 138     | 6 |
| R88L-EC-GW-0309- | 215,4   | 198     | 9 |



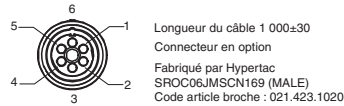
Moteur avec rail magnétique (n° de commande distinct)



Moteur avec capteur Hall (en option)

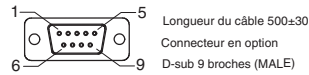


Caractéristiques du câblage pour moteur avec connecteurs



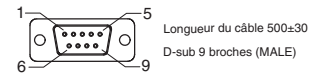
| Connecteur d'alimentation |             |          |
|---------------------------|-------------|----------|
| N° broche                 | Fil         | Fonction |
| 1                         | Noir        | Phase U  |
| 2                         | Rouge       | Phase V  |
| 3                         | Blanc       | Phase W  |
| 4                         | Non utilisé | -        |
| 5                         | Non utilisé | -        |
| 6                         | Vert        | Terre    |

Connecteur homologue :  
Type mâle : SPOC06KFSDN169



| Connecteur du capteur de température |             |          |
|--------------------------------------|-------------|----------|
| N° broche                            | Fil         | Fonction |
| 1                                    | Non utilisé | -        |
| 2                                    | Non utilisé | -        |
| 3                                    | Non utilisé | -        |
| 4                                    | Non utilisé | -        |
| 5                                    | Non utilisé | -        |
| 6                                    | Blanc       | PTC      |
| 7                                    | Marron      | PTC      |
| 8                                    | Vert        | NTC      |
| 9                                    | Jaune       | NTC      |
| Boîtier                              | Blindage    | -        |

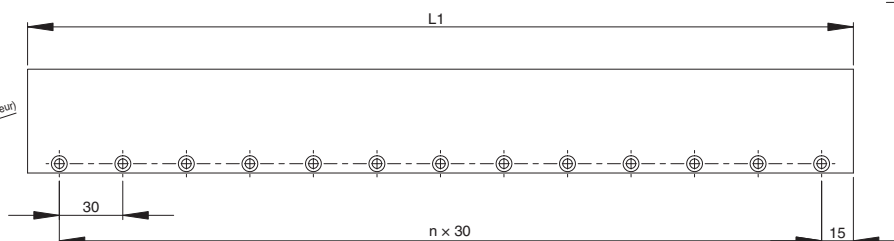
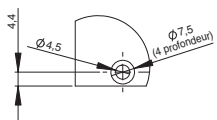
Unité : mm



| Connecteur de capteur Hall (en option) |             |             |
|--|-------------|-------------|
| N° broche                              | Fil         | Fonction    |
| 1                                      | Marron      | 5V          |
| 2                                      | Rouge       | Hall U      |
| 3                                      | Gris        | Hall V      |
| 4                                      | Jaune       | Hall W      |
| 5                                      | Blanc       | GND         |
| 6                                      | Non utilisé | Non utilisé |
| 7                                      | Non utilisé | Non utilisé |
| 8                                      | Non utilisé | Non utilisé |
| 9                                      | Non utilisé | Non utilisé |
| Boîtier                                | Blindage    | -           |

### Rail magnétique

| Modèle             | L1 (mm) | n  | Poids approximatif (Kg/m) |
|--------------------|---------|----|---------------------------|
| R88L-EC-GM-03090-A | 90      | 2  | 4,8                       |
| R88L-EC-GM-03120-A | 120     | 3  |                           |
| R88L-EC-GM-03390-A | 390     | 12 |                           |

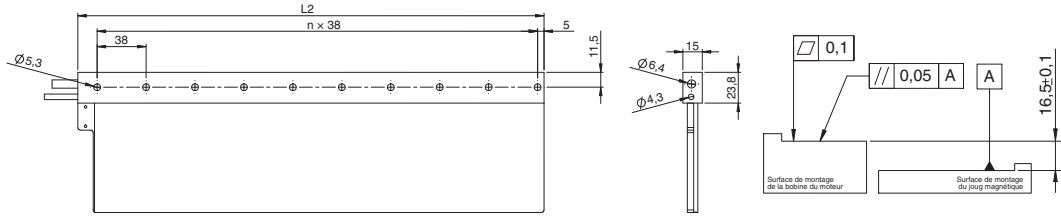




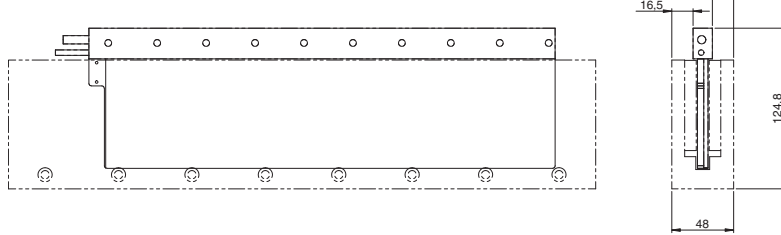
## Sans noyau de fer R88L-EC-GW-07□

### Bobine moteur

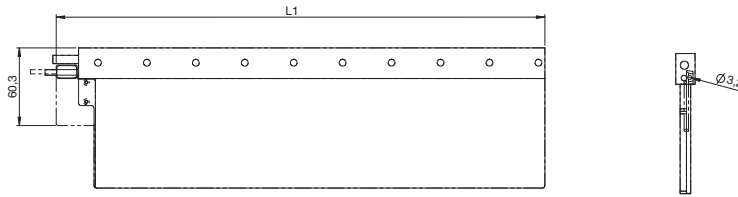
| Modèle            | L1 (mm) | L2 (mm) | n |
|-------------------|---------|---------|---|
| R88L-EC-GW-0703-□ | 151,4   | 134     | 3 |
| R88L-EC-GW-0706-□ | 265,4   | 248     | 6 |
| R88L-EC-GW-0709-□ | 379,4   | 362     | 9 |



Moteur avec rail magnétique (n° de commande distinct)



Moteur avec capteur Hall (en option)



#### Caractéristiques du câblage pour moteur avec connecteurs

1 Longueur du câble 1 000±30  
 2 Connecteur en option  
 3 Fabriqué par Hypertac  
 4 SROC06JM/SCN169 (MALE)  
 5 Code article broche : 021.423.1020

| Connecteur d'alimentation |             |          |
|---------------------------|-------------|----------|
| N° broche                 | Fil         | Fonction |
| 1                         | Noir        | Phase U  |
| 2                         | Rouge       | Phase V  |
| 3                         | Blanc       | Phase W  |
| 4                         | Non utilisé | -        |
| 5                         | Non utilisé | -        |
| 6                         | Vert        | Terre    |

Connecteur homologue :  
 Type mâle : SPOC06KFS DN169

1 Longueur du câble 500±30  
 2 Connecteur en option  
 3 D-sub 9 broches (MALE)

| Connecteur du capteur de température |             |          |
|--------------------------------------|-------------|----------|
| N° broche                            | Fil         | Fonction |
| 1                                    | Non utilisé | -        |
| 2                                    | Non utilisé | -        |
| 3                                    | Non utilisé | -        |
| 4                                    | Non utilisé | -        |
| 5                                    | Non utilisé | -        |
| 6                                    | Blanc       | PTC      |
| 7                                    | Marron      | PTC      |
| 8                                    | Vert        | NTC      |
| 9                                    | Jaune       | NTC      |
| Boîtier                              | Blindage    | -        |

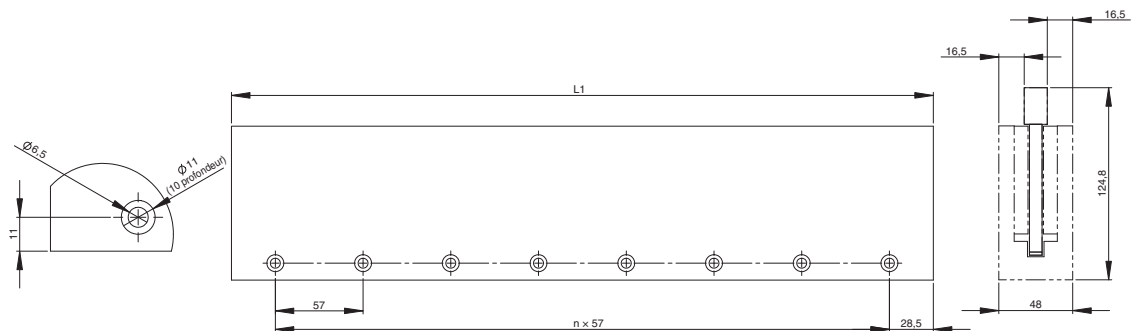
Unité : mm

1 Longueur du câble 500±30  
 2 D-sub 9 broches (MALE)

| Connecteur de capteur de Hall (en option) |             |             |
|---|-------------|-------------|
| N° broche                                 | Fil         | Fonction    |
| 1   | Marron      | 5 V         |
| 2   | Rouge       | Hall U      |
| 3   | Gris        | Hall V      |
| 4   | Jaune       | Hall W      |
| 5   | Blanc       | GND         |
| 6   | Non utilisé | Non utilisé |
| 7   | Non utilisé | Non utilisé |
| 8   | Non utilisé | Non utilisé |
| 9   | Non utilisé | Non utilisé |
| Boîtier                                   | Blindage    | -           |

### Rail magnétique

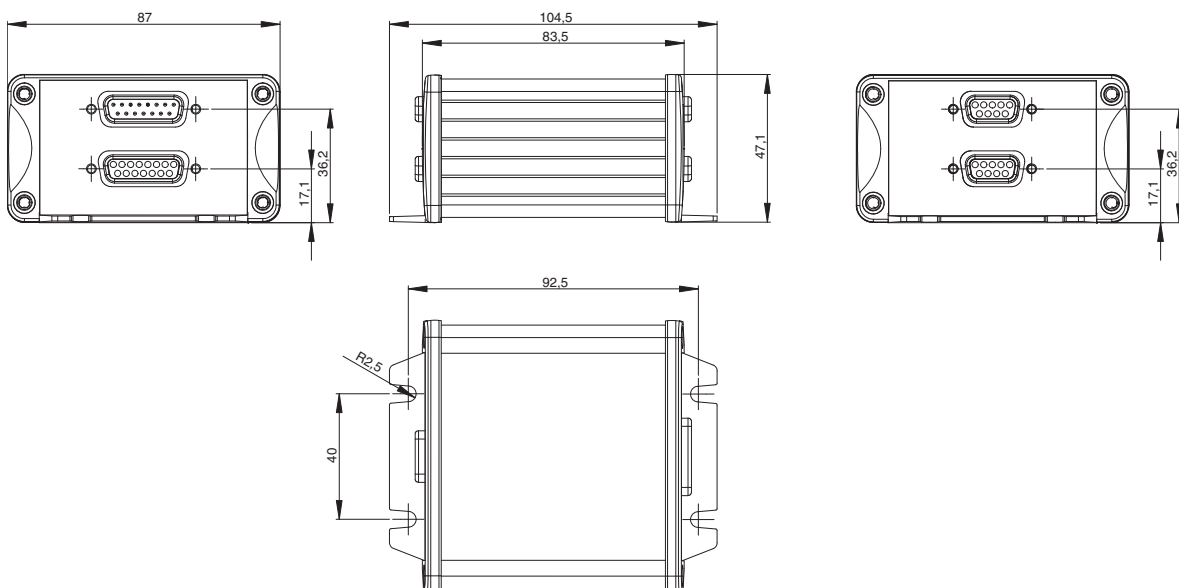
| Modèle             | L1 (mm) | n | Poids approximatif (Kg/m) |
|--------------------|---------|---|---------------------------|
| R88L-EC-GM-07114-A | 114     | 1 | 25,5                      |
| R88L-EC-GM-07171-A | 171     | 2 |                           |
| R88L-EC-GM-07456-A | 456     | 7 |                           |



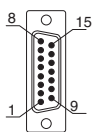
Unité de convertisseur série en option

Caractéristiques

| Modèle de convertisseur série R88A- |   | SC01K-E  | SC02K-E   |
|-------------------------------------|---|--|---|
| Description                         |   | Convertisseur série de 1 Vpp à transmission de données série G5 et avec entrée de capteur Hall |   |
| Capteur de température              |   | Capteur KTY détection de bobine de moteur à noyau en fer                                       | Capteur NTC détection de bobine de moteur sans noyau en fer |
| Caractéristiques électriques        | Tension d'alimentation                      | 5 Vc.c., max. 250 mA fournies par le variateur   |   |
|                                     | Résolution standard                         | Facteur d'interpolation 100 plus compte de quadrature  |   |
|                                     | Fréquence d'entrée max.                     | 400 kHz 1 Vpp  |   |
|                                     | Signaux d'entrée analogique (cos, sin, Réf) | Amplitude d'entrée différentielle : 0,4 V à 1,2 V, niveau de signal d'entrée : 1,5 à 3,5 V     |   |
|                                     | Signaux de sortie                           | Données de position, informations sur le capteur Hall et température, et alarmes               |   |
|                                     | Méthode de sortie                           | Transmission de données série  |   |
| Caractéristiques mécaniques         | Cycle de transmission                       | < 42 µs  |   |
|                                     | Résistance aux vibrations                   | 98 m/s <sup>2</sup> max. (1 à 2 500 Hz) dans les trois directions                              |   |
|                                     | Résistance aux chocs                        | 980 m/s <sup>2</sup> , (11 ms) deux fois dans trois directions                                 |   |
| Environnement                       | Température ambiante                        | 0 à 55 °C  |   |
|                                     | Température de stockage                     | -20 à 80 °C  |   |
|                                     | Humidité                                    | 20 à 90 % d'humidité relative (sans condensation)  |   |



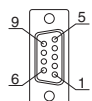
**CN4**  
Sortie données série vers servodriver linéaire



Connecteur D-Sub 15 broches (mâle)

| N° broche | Signal           |
|-----------|------------------|
| 1         | PS               |
| 2         | /PS              |
| 3         | Non utilisé      |
| 4         | Non utilisé      |
| 5         | Non utilisé      |
| 6         | Non utilisé      |
| 7         | Non utilisé      |
| 8         | 5 V              |
| 9         | 0 V              |
| 10        | Non utilisé      |
| 11        | Non utilisé      |
| 12        | Non utilisé      |
| 13        | Non utilisé      |
| 14        | Non utilisé      |
| 15        | Blindage interne |
| Boîtier   | Blindage         |

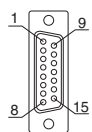
**CN3**  
Interface de capteur de température sans capteur Hall



Connecteur D-Sub 9 broches (femelle)

| N° broche | Signal      |
|-----------|-------------|
| 1         | Non utilisé |
| 2         | Non utilisé |
| 3         | Non utilisé |
| 4         | Non utilisé |
| 5         | Non utilisé |
| 6         | PTC         |
| 7         | PTC         |
| 8         | KTY/NTC     |
| 9         | KTY/NTC     |
| Boîtier   | Blindage    |

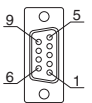
**CN1**  
Entrée codeur 1 Vpp avec lignes programmables NUMERIK JENA standard



Connecteur D-Sub 15 broches (femelle)

| N° broche | Signal                         |
|-----------|--------------------------------|
| 1         | SDA*                           |
| 2         | SCL*                           |
| 3         | Non utilisé                    |
| 4         | /Signal Réf (U <sub>0</sub> -) |
| 5         | /Signal Cos (U <sub>2</sub> -) |
| 6         | /Signal Sin (U <sub>1</sub> -) |
| 7         | Non utilisé                    |
| 8         | 5 V                            |
| 9         | 0 V                            |
| 10        | Non utilisé                    |
| 11        | Non utilisé                    |
| 12        | Signal Réf (U <sub>0</sub> )   |
| 13        | Signal Cos (U <sub>2</sub> )   |
| 14        | Signal Sin (U <sub>1</sub> )   |
| 15        | Blindage interne               |
| Boîtier   | Blindage                       |

**CN2**  
Interface des capteurs Hall et de température



Connecteur D-Sub 9 broches (femelle)

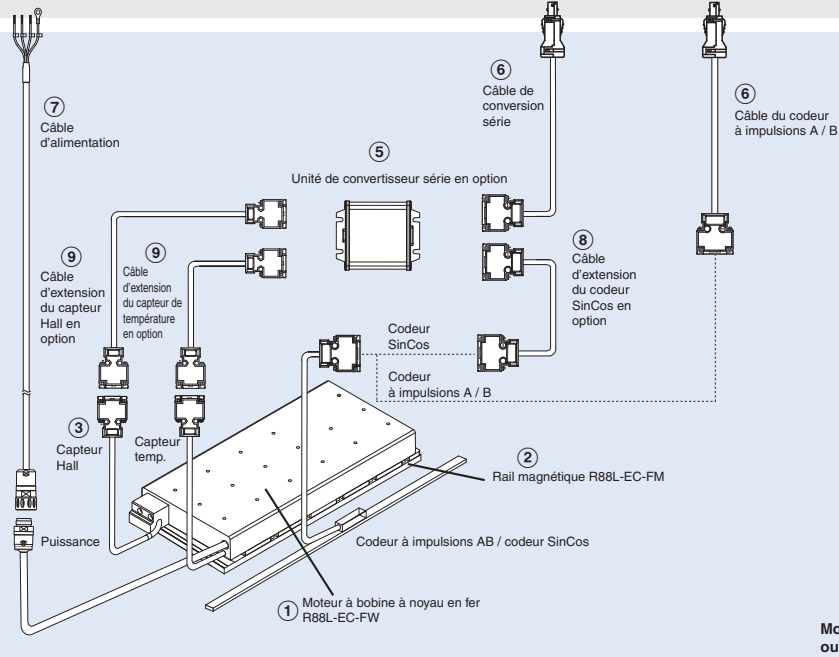
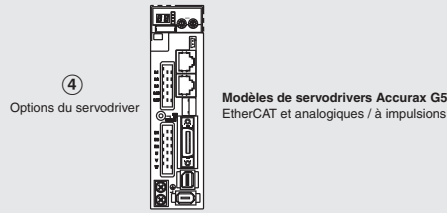
| N° broche | Signal   |
|-----------|----------|
| 1         | 5 V      |
| 2         | Hall U   |
| 3         | Hall V   |
| 4         | Hall W   |
| 5         | GND      |
| 6         | PTC      |
| 7         | PTC      |
| 8         | KTY/NTC  |
| 9         | KTY/NTC  |
| Boîtier   | Blindage |

\*Réservé. Veuillez ne pas utiliser

**Remarque :** Les broches 6, 7, 8, 9 des connecteurs CN2 et CN3 étant câblées en interne, le capteur de température peut être connecté aux deux connecteurs. Lorsque le capteur Hall est également requis, utilisez le même câble pour les signaux Hall et Température, ainsi que pour le connecteur CN2.

## Références de commande

(Reportez-vous au chapitre sur les servodrivers)



Moteurs linéaires avec ou sans noyau en fer

**Remarque :** Les symboles ①②③... indiquent la séquence recommandée pour sélectionner le moteur linéaire, les câbles et le convertisseur série pour un moteur linéaire.

### Moteurs linéaires

#### R88L-EC-FW-□ Type à noyau en fer

230 Vc.a. monophasé / triphasé, 400 Vc.a. triphasé

| Pièces du moteur linéaire |                |           |                                   |                      |  | Servodriver linéaire |   |                 |
|---------------------------|----------------|-----------|-----------------------------------|----------------------|--|----------------------|---|-----------------|
| Symbole                   | Force nominale | Force pic | ① Bobine de moteur à noyau en fer |                      | ② Rail magnétique  | ③ Capteur Hall       | ④ Modèles Accurax G5 analogiques / à impulsions et EtherCAT |                 |
|                           |                |           |                                   |                      |  |                      | 230 V   | 400 V           |
|                           | 48 N           | 105 N     | Bobine sans connecteurs           | R88L-EC-FW-0303-ANPC | R88L-EC-FM-03096-A<br>R88L-EC-FM-03144-A<br>R88L-EC-FM-03384-A | R88L-EC-FH-N1N1N-A   | R88D-K□02H-□□□-L  | R88D-K□06F□□□-L |
|                           | 96 N           | 210 N     |                                   | R88L-EC-FW-0306-ANPC |  |                      | R88D-K□04H-□□□-L  | R88D-K□10F□□□-L |
|                           | 160 N          | 400 N     |                                   | R88L-EC-FW-0606-ANPC | R88L-EC-FM-06192-A<br>R88L-EC-FM-06288-A                       |                      | R88D-K□08H-□□□-L  | R88D-K□15F□□□-L |
|                           | 240 N          | 600 N     |                                   | R88L-EC-FW-0609-ANPC |  |                      | R88D-K□10H-□□□-L  | R88D-K□20F□□□-L |
|                           | 320 N          | 800 N     |                                   | R88L-EC-FW-0612-ANPC |  |                      | R88D-K□15H-□□□-L  | R88D-K□30F□□□-L |
|                           | 608 N          | 1 600 N   |                                   | R88L-EC-FW-1112-ANPC | R88L-EC-FM-11192-A<br>R88L-EC-FM-11288-A                       |                      | R88D-K□15H-□□□-L  | R88D-K□30F□□□-L |
|                           | 760 N          | 2 000 N   |                                   | R88L-EC-FW-1115-ANPC |  |                      | R88D-K□15H-□□□-L  | R88D-K□30F□□□-L |
|                           | 48 N           | 105 N     | Bobine avec connecteurs           | R88L-EC-FW-0303-APLC | R88L-EC-FM-03096-A<br>R88L-EC-FM-03144-A<br>R88L-EC-FM-03384-A |                      | R88D-K□02H-□□□-L  | R88D-K□06F□□□-L |
|                           | 96 N           | 210 N     |                                   | R88L-EC-FW-0306-APLC |  |                      | R88D-K□04H-□□□-L  | R88D-K□10F□□□-L |
|                           | 160 N          | 400 N     |                                   | R88L-EC-FW-0606-APLC | R88L-EC-FM-06192-A<br>R88L-EC-FM-06288-A                       |                      | R88D-K□08H-□□□-L  | R88D-K□15F□□□-L |
|                           | 240 N          | 600 N     |                                   | R88L-EC-FW-0609-APLC |  |                      | R88D-K□10H-□□□-L  | R88D-K□20F□□□-L |
|                           | 320 N          | 800 N     |                                   | R88L-EC-FW-0612-APLC |  |                      | R88D-K□15H-□□□-L  | R88D-K□30F□□□-L |
|                           | 608 N          | 1 600 N   |                                   | R88L-EC-FW-1112-APLC | R88L-EC-FM-11192-A<br>R88L-EC-FM-11288-A                       |                      | R88D-K□15H-□□□-L  | R88D-K□30F□□□-L |
|                           | 760 N          | 2 000 N   |                                   | R88L-EC-FW-1115-APLC |  |                      | R88D-K□15H-□□□-L  | R88D-K□30F□□□-L |

R88L-EC-GW-□ Type sans noyau en fer

230 Vc.a. monophasé / triphasé

| Pièces du moteur linéaire   |                |           |                                      |                         |                      | Servodriver linéaire |                    |                                   |                  |              |
|---|----------------|-----------|--------------------------------------|-------------------------|----------------------|----------------------|--------------------|-----------------------------------|------------------|--------------|
| Type  | Force nominale | Force pic | ① Bobine de moteur sans noyau en fer |                         | ② Rail magnétique    | ③ Capteur Hall       | ④ Accurax G5       |                                   |                  |              |
|   |                |           |                                      |                         |                      |                      | 230 V (EtherCAT)   | 230 V (analogique / à impulsions) |                  |              |
|  | 29 N           | 100 N     | Bobine sans connecteurs              | R88L-EC-GW-0303-ANPS    | R88L-EC-GM-03090-A   | R88L-EC-GH-03NN-A    | R88D-KN02H-ECT-L   | R88D-KT02H-L                      |                  |              |
|   | 58 N           | 200 N     |                                      | R88L-EC-GW-0306-ANPS    | R88L-EC-GM-03120-A   |                      | R88D-KN08H-ECT-L   | R88D-KT08H-L                      |                  |              |
|   | 87 N           | 300 N     |                                      | R88L-EC-GW-0309-ANPS    | R88L-EC-GM-03390-A   |                      | R88D-KN10H-ECT-L   | R88D-KT10H-L                      |                  |              |
|   | 70 N           | 240 N     |                                      | R88L-EC-GW-0503-ANPS    | R88L-EC-GM-05126-A   |                      | R88L-EC-GH-05NN-A  | R88D-KN02H-ECT-L                  | R88D-KT02H-L     |              |
|   | 140 N          | 480 N     |                                      | R88L-EC-GW-0506-ANPS    | R88L-EC-GM-05546-A   |                      |                    | R88D-KN04H-ECT-L                  | R88D-KT04H-L     |              |
|   | 210 N          | 720 N     |                                      | R88L-EC-GW-0509-ANPS    | R88L-EC-GM-05168-A   |                      |                    | R88D-KN08H-ECT-L                  | R88D-KT08H-L     |              |
|   | 141 N          | 700 N     |                                      | R88L-EC-GW-0703-ANPS    | R88L-EC-GM-05210-A   | R88L-EC-GH-07NN-A    |                    | R88D-KN04H-ECT-L                  | R88D-KT04H-L     |              |
|   | 282 N          | 1 400 N   |                                      | R88L-EC-GW-0706-ANPS    | R88L-EC-GM-07114-A   |                      |                    | R88D-KN08H-ECT-L                  | R88D-KT08H-L     |              |
|   | 423 N          | 2 100 N   |                                      | R88L-EC-GW-0709-ANPS    | R88L-EC-GM-07171-A   |                      |                    | R88L-EC-GM-07456-A                | R88D-KN10H-ECT-L | R88D-KT10H-L |
|   | 29 N           | 100 N     |                                      | Bobine avec connecteurs | R88L-EC-GW-0303-APLS |                      | R88L-EC-GM-03090-A | R88L-EC-GH-03NN-A                 | R88D-KN02H-ECT-L | R88D-KT02H-L |
|   | 58 N           | 200 N     |                                      |                         | R88L-EC-GW-0306-APLS |                      | R88L-EC-GM-03120-A |                                   | R88D-KN08H-ECT-L | R88D-KT08H-L |
|   | 87 N           | 300 N     |                                      |                         | R88L-EC-GW-0309-APLS |                      | R88L-EC-GM-03390-A |                                   | R88D-KN10H-ECT-L | R88D-KT10H-L |
|   | 70 N           | 240 N     | R88L-EC-GW-0503-APLS                 |                         | R88L-EC-GM-05126-A   | R88L-EC-GH-05NN-A    | R88D-KN02H-ECT-L   |                                   | R88D-KT02H-L     |              |
|   | 140 N          | 480 N     | R88L-EC-GW-0506-APLS                 |                         | R88L-EC-GM-05546-A   |                      | R88D-KN04H-ECT-L   |                                   | R88D-KT04H-L     |              |
|   | 210 N          | 720 N     | R88L-EC-GW-0509-APLS                 |                         | R88L-EC-GM-05168-A   |                      | R88L-EC-GM-05210-A |                                   | R88D-KN08H-ECT-L | R88D-KT08H-L |
|   | 141 N          | 700 N     | R88L-EC-GW-0703-APLS                 |                         | R88L-EC-GM-07114-A   |                      | R88L-EC-GH-07NN-A  | R88D-KN04H-ECT-L                  | R88D-KT04H-L     |              |
|   | 282 N          | 1 400 N   | R88L-EC-GW-0706-APLS                 |                         | R88L-EC-GM-07171-A   |                      |                    | R88L-EC-GM-07456-A                | R88D-KN08H-ECT-L | R88D-KT08H-L |
|   | 423 N          | 2 100 N   | R88L-EC-GW-0709-APLS                 |                         |                      |                      |                    | R88D-KN10H-ECT-L                  | R88D-KT10H-L     |              |

Servodriver

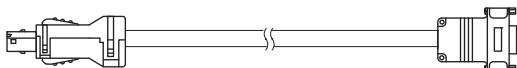
④ Reportez-vous au chapitre sur les servodrivers Accurax G5 pour les spécifications d'entraînement détaillées et une sélection d'accessoires d'entraînement.

Carte de conversion série

| Symbole | Caractéristiques   | Modèle       |
|---------|--|--------------|
| ⑤       | Carte de conversion série de 1 Vpp à transmission de données série G5 (avec capteur KTY détection de bobine de moteur à noyau en fer)    | R88A-SC01K-E |
|         | Carte de conversion série de 1 Vpp à transmission de données série G5 (avec capteur NTC détection de bobine de moteur sans noyau en fer) | R88A-SC02K-E |

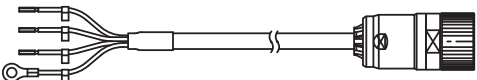
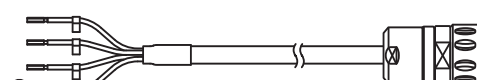
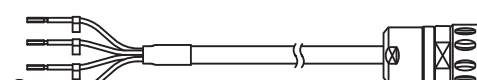
Remarque : Si aucun capteur de température n'est nécessaire, vous pouvez utiliser n'importe quel convertisseur.

Câble du convertisseur série vers le servodriver

| Symbole | Caractéristiques   | Modèle | Présentation       |  |
|---------|--|--------|--------------------|--|
| ⑥       | Variateur linéaire Accurax G5 vers câble du convertisseur série.<br>(Connecteurs R88A-CNK41L et DB-15) | 1,5 m  | R88A-CRKN001-5CR-E |  |
|         |  | 3 m    | R88A-CRKN003CR-E   |  |
|         |  | 5 m    | R88A-CRKN005CR-E   |  |
|         |  | 10 m   | R88A-CRKN010CR-E   |  |
|         |  | 15 m   | R88A-CRKN015CR-E   |  |
|         |  | 20 m   | R88A-CRKN020CR-E   |  |

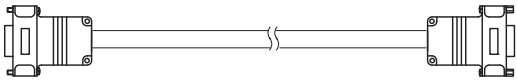
Remarque : Ce câble peut également être utilisé pour une disposition de broches standard du codeur Numerik Jena à impulsions A / B.

Câble d'alimentation

| Symbole | Caractéristiques   | Modèle | Présentation       |  |
|---------|--|--------|--------------------|--|
| ⑦       | Pour moteurs linéaires à noyau en fer<br>R88L-EC-FW-0303-□<br>R88L-EC-FW-0306-□  | 1,5 m  | R88A-CAWK001-5S-DE |  |
|         |  | 3 m    | R88A-CAWK003S-DE   |  |
|         |  | 5 m    | R88A-CAWK005S-DE   |  |
|         |  | 10 m   | R88A-CAWK010S-DE   |  |
|         |  | 15 m   | R88A-CAWK015S-DE   |  |
|         |  | 20 m   | R88A-CAWK020S-DE   |  |
|         | Pour moteurs linéaires à noyau en fer<br>R88L-EC-FW-0606-□<br>R88L-EC-FW-0609-□<br>R88L-EC-FW-0612-□<br>R88L-EC-FW-1112-□<br>R88L-EC-FW-1115-□ | 1,5 m  | R88A-CAWL001-5S-DE |  |
|         |  | 3 m    | R88A-CAWL003S-DE   |  |
|         |  | 5 m    | R88A-CAWL005S-DE   |  |
|         |  | 10 m   | R88A-CAWL010S-DE   |  |
|         |  | 15 m   | R88A-CAWL015S-DE   |  |
|         |  | 20 m   | R88A-CAWL020S-DE   |  |
|         | Pour moteurs linéaires sans noyau en fer<br>R88L-EC-GW-□   | 1,5 m  | R88A-CAWB001-5S-DE |  |
|         |  | 3 m    | R88A-CAWB003S-DE   |  |
|         |  | 5 m    | R88A-CAWB005S-DE   |  |
|         |  | 10 m   | R88A-CAWB010S-DE   |  |
|         |  | 15 m   | R88A-CAWB015S-DE   |  |
|         |  | 20 m   | R88A-CAWB020S-DE   |  |

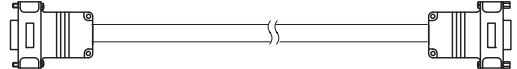
## Câble de codeur linéaire vers convertisseur série

| Symbole | Caractéristiques  | Modèle | Présentation       |
|---------|---|--------|--------------------|
| ⑧       | Câble d'extension pour codeur linéaire <b>Numerik Jena</b> vers R88A-SC0□K-E convertisseur série (connecteur DB-15)<br>(Ce câble de rallonge est optionnel) | 1,5 m  | R88A-CFKA001-5CR-E |
|         |   | 3 m    | R88A-CFKA003CR-E   |
|         |   | 5 m    | R88A-CFKA005CR-E   |
|         |   | 10 m   | R88A-CFKA010CR-E   |
|         |   | 15 m   | R88A-CFKA015CR-E   |
|         | Câble d'extension pour codeur linéaire <b>Renishaw</b> vers R88A-SC0□K-E convertisseur série (connecteur DB-15)<br>(Ce câble de rallonge est optionnel)     | 1,5 m  | R88A-CFKC001-5CR-E |
|         |   | 3 m    | R88A-CFKC003CR-E   |
|         |   | 5 m    | R88A-CFKC005CR-E   |
|         |   | 10 m   | R88A-CFKC010CR-E   |
|         |   | 15 m   | R88A-CFKC015CR-E   |
|         | Câble d'extension pour codeur linéaire <b>Heidenhain</b> vers R88A-SC0□K-E convertisseur série (connecteur DB-15)<br>(Ce câble de rallonge est optionnel)   | 1,5 m  | R88A-CFKD001-5CR-E |
|         |   | 3 m    | R88A-CFKD003CR-E   |
|         |   | 5 m    | R88A-CFKD005CR-E   |
|         |   | 10 m   | R88A-CFKD010CR-E   |
|         |   | 15 m   | R88A-CFKD015CR-E   |



## Câble de capteurs Hall et Température vers convertisseur série

| Symbole | Caractéristiques   | Modèle | Présentation       |
|---------|--|--------|--------------------|
| ⑨       | Câble d'extension depuis capteurs Hall et de température vers R88A-SC0□K-E convertisseur série (connecteur DB-9)<br>(Ce câble de rallonge est optionnel) | 1,5 m  | R88A-CFKB001-5CR-E |
|         |  | 3 m    | R88A-CFKB003CR-E   |
|         |  | 5 m    | R88A-CFKB005CR-E   |
|         |  | 10 m   | R88A-CFKB010CR-E   |
|         |  | 15 m   | R88A-CFKB015CR-E   |



## Connecteurs

| Caractéristiques  | Modèle           |
|---|------------------|
| Connecteur codeur servodriver Accurax G5 (pour CN4)                                       | R88A-CNK41L      |
| Connecteur de câble d'alimentation Hypertac IP67 pour moteurs linéaires à noyau en fer    | LPRA-06B-FRBN170 |
| Connecteur de câble d'alimentation Hypertac IP67 pour moteurs linéaires sans noyau en fer | SPOC06KFSDN169   |

TOUTES LES DIMENSIONS INDIQUEES SONT EN MILLIMETRES.  
 Pour convertir des millimètres en pouces, multipliez par 0,03937. Pour convertir les grammes en onces, multipliez par 0,03527.